

تقييم فعالية ثلاث أنظمة آلية ذات حركة تبادلية (Reciproc blue -Wave one gold) في تحضير مشابهات الأقنية الجذرية شديدة الانحناء (دراسة مخبرية) AF blue R3

هديل اللابد¹ كيندا ليوس²

¹* طالب ماجستير في قسم مداواة الأسنان - كلية طب الأسنان - جامعة دمشق.

² أستاذ في قسم مداواة الأسنان - كلية طب الأسنان - جامعة دمشق.

الملخص:

خلفية البحث وهدفه: تُعد مرحلة تحضير الأقنية الجذرية من أهم المراحل في سياق المعالجة الليبية، حيث يعتمد نجاح المعالجة الليبية بشكل كبير على إنجازها بشكل صحيح. إن أحد الأهداف الأساسية لتحضير الأقنية الجذرية هو الحفاظ على التسريح الأصلي للقناة والمحافظة على انحائها وعلاقة النقبة الذروية مع النسج المحيطة بها، ومن هنا كان الهدف من هذه الدراسة المخبرية تقييم فعالية ثلاثة أنظمة آلية وحيدة المبرد، ذات حركة تبادلية reciprocating في تحضير مشابهات الأقنية الجذرية شديدة الانحناء من حيث المحافظة على مركزية القناة.

مواد البحث وطريقه: تألفت عينة البحث من 45 قناة صناعية بزاوية انحناء 40 درجة، تم توزيعها بشكل عشوائي على ثلاث مجموعات متساوية وفقاً لنظام التحضير المستخدم، المجموعة الأولى Reciproc blue ، المجموعة الثانية AF Blue R3. تم تسليم الأقنية الصناعية باستخدام مبرد K-file قياس 10، ثم إضافة صباغ أحمر بداخلها وأخذ صور فوتوغرافية للعينة قبل التحضير، بعد ذلك حضرت أقنية كل مجموعة بمبارد أنظمة التحضير الخاصة بها ذات قياس الذروة 25، وأخذت صور فوتوغرافية أخرى للعينة بعد التحضير، ثم تم دمج صور المرحلتين لكل قناة صناعية باستخدام برنامج AutoCAD الإصدار 2020 حيث تم عزل المنطقة المخصصة للدراسة وتقسيم القناة إلى ثلاثة أجزاء متساوية وتم قياس منطقة التحضير من الجهتين اليمنى واليسرى في كل جزء على طول القناة ثم حُلت البيانات باستخدام اختبار T-ستيودنت للعينات المرتبطة والمستقلة عند مستوى دلالة (P<0.05).

النتائج: لم تكن هناك فروق دالة إحصائياً في كمية الراتنج المزالة من الجهتين اليمنى واليسرى في الثالث التاجي والذروي في مجموعة Reciproc blue و (P>0.05) بينما تبين وجود فرق دال إحصائياً في الثالث المتوسط في المجموعتين (P<0.05)، كما وجد فرق دال إحصائياً في مجموعة AF Blue R3 في كل من الثالث التاجي والمتوسط والذروي (P<0.05) حيث كانت كمية الراتنج المزالة من الجهة اليمنى أكبر من الجهة اليسرى.

الاستنتاجات: حافظ كل من نظامي التحضير Reciproc blue Wave One gold على الشكل التسريحي ومركزية القناة مع تفوق الأخير بأقل مقدار انحراف، بينما تسبب نظام التحضير AF Blue R3 بحدوث أكبر قدر من التغيرات الحجمية المتعلقة بمقدار الراتنج المزال في أغلب مناطق الدراسة.

الكلمات المفتاحية: Reciproc Blue-WaveOne gold-AF Blue R3 - مشابهات الأقنية الجذرية - مركزية القناة.

تاريخ الإيداع: 2022/5/26

2022/4/27

حقوق النشر: جامعة دمشق - سوريا، يحتفظ المؤلفون بحقوق النشر بموجب

ISSN: 2789-7214 (online)

<http://journal.damascusuniversity.edu.sy>



Effectiveness Evaluation of three Reciprocating Systems (Reciproc blue -WaveOne gold -AF blue R3) in Preparing Simulated Severely Curved Root Canals (An In Vitro Study)

Hadeel ALLabed¹

Kinda Layous²

¹ Master's student in Endodontic and Restorative Department, Faculty of Dentistry, Damascus University.
² Professor in Endodontic and Restorative Department, Faculty of Dentistry, Damascus University.

Abstract:

Background & Aim: Preparing the root canals is one of the most important steps in endodontic treatment, as the success of endodontic treatment is highly dependent on getting it done correctly. One of the main objectives of root canal preparation is to follow the original anatomy of the canal and maintain its curvature and the relationship of the apical foramen with periapical tissues. So, the objective of this in-vitro study is to evaluate the effectiveness of three reciprocating single-file systems in preparing simulated severely curved root canals in terms of maintaining the centrality of the canal.

Materials and Methods: The study sample, which consisted of 45 artificial canals with an angle of curvature of 40 degrees were randomly distributed into three equal groups according to the preparing system used, the first group: Reciproc blue, the second group: WaveOne gold, the third group: AF Blue R3. All artificial canals were scouted with k-file #10, then red dye was inserted inside the canals and photographs were taken before preparation. Subsequently, the canals of each group were prepared using their single-file preparing system size #25. Other photographs of the sample were taken after preparation, and then the images of the two phases for each artificial canal were combined using AutoCAD version 2020. The study area was isolated and the canals were divided into three equal parts. The preparation area was measured from the right and left sides in each part along the canal, then the data were analyzed using a T-student test for independent and paired samples at the level of significance ($P \leq 0.05$).and statistical analyzes were performed using SPSS version 24.

Results: There were no statistically significant differences in the amount of resin removed from the right and left sides in the coronal and apical thirds of Reciproc blue and WaveOne gold groups ($P>0.05$), while a statistically significant difference was found in the middle third in both groups ($P<0.05$). It was also found statistically significant differences in AF Blue R3 group in coronal, middle and apical thirds ($P<0.05$), where the amount of resin removed from the right was greater than the left.

Conclusions: Reciproc blue and Wave One gold preparation systems maintained the anatomical shape and centrality of the canal with the latter exceeding the minimum deviation, while the AF Blue R3 preparation system caused the greatest volumetric changes related to the amount of resin removed in most study areas.

Keywords: Reciproc Blue-Waveone Gold-AF Blue R3- Simulated Root Canals- Canal Centrality.

2 من 16



Submitted: 27/4/2022

Accepted: 26/5/2022

Copyright: Damascus University Syria.

The authors retain copyright under CC BY-NC-SA

المقدمة :Introduction

تعد مرحلة تحضير الأقنية الجذرية من الخطوات الرئيسية لضمان نجاح المعالجة الليبية، حيث أن تنظير القناة الجذرية له دور هام في خلق مساحة جيدة لوصول المواد الدوائية ومواد الحشو ل كامل المنظومة الفنوية، بالإضافة للحصول على شكل هندسي ملائم لتأمين قابلية جيدة للختم في الوقت نفسه، ومن المهم أن يتم ذلك دون حدوث تغيير في شكل القناة الجذرية ومسارها أو انحنتها (Liu & Wu, 2016, p. 97).

وقد أثبتت العديد من الدراسات التي تناولت الشكل التشريري لمنظومة القناة الجذرية بأنه من النادر أن تكون جذور الأسنان مستقيمة تماماً، حيث تظهر في معظم الأقنية الجذرية انحناءات ضمن مستويات مختلفة، وبالتالي كان لابد من توقع وجودها حتى وإن فشلت الصور الشعاعية في إظهار هذه الانحناءات (Berutti et al., 2009, pp. 408-412).

إن استخدام خليطة النيكل-نيتانيوم في تصنيع الأدوات المستخدمة في سياق المعالجات الليبية أحدث ثورة في عالم المداواة الليبية، نظراً لمرونته العالية، ونقوتها الحيوي، ومقاومتها للتآكل بالمقارنة مع بقية الخلاطات الأخرى، كما وأظهرت موثوقية عالية في المحافظة على الشكل التشريري الأصلي للقناة، وتقليل خطر نقل الذرة وانقاب الجذر خصوصاً في الأقنية المنحنية ، وهذا ما دفع إلى استخدامها في تصنيع الأدوات الآلية الدوارة التي شكلت بدورها قفزة نوعية أخرى في عالم المداواة الليبية من خلال اختصارها للوقت والجهد (Wei et al., 2017, pp. 1-7).

حيث تم تصنيع العديد من الأدوات الليبية الآلية مكونة من خليطة النيكل_نيتانيوم بمواصفات هندسية مختلفة وبالتالي تم إصدار العديد من الأنظمة الميكانيكية بتقديم مخالفة (استدقاق متعدد، طرائق مختلفة لمعالجة خليطة المبرد وأنواع الحركة)،

ومن بين هذه الأنظمة تم تطوير أنظمة تحضير بأكثر من مبرد، أو مبرد وحيد لكامل القناة الجذرية بحركات دورانية أو تبادلية (de Sousa-Neto et al., 2018, pp. 20-43) مع استمرار التقدم في مجال المعالجات الليبية ومع العمل على أشكال وخلالن المبارد الآلية عاد استخدام الحركة التبادلية للظهور، ليحل مشاكل الحركة الدورانية كأنكسار الأدوات وانحسارها داخل القناة (Peters et al., 2015, pp. 1545-1550).

الحركة التبادلية هي تطور لنقنية القوة المتوازنة التي أثبتت أنها تحافظ على الانحناء بأقل قدر من التشوه ، علاوة على ذلك، إن خطر كسر الأداة الناتج عن تعب الفتل (cyclic fatigue) يقل بالحركة التبادلية لأن دوران المبرد عكس اتجاه عقارب الساعة يقلل من جهد اللّي الذي يطبق على الأداة أثناء تشكيل القناة(Ahn et al., 2016, pp. 1009-1017)

مع عودة ظهور الحركة التبادلية تم تحديد زاوية دوران الأداة باتجاه القطع مع عقارب الساعة تحت حد تحمل الأداة وهذا ما سمي بالحركة التبادلية غير المتناظرة، حيث تكون زاوية الدوران بالاتجاه القاطع أكبر من الزاوية المعاكسة، وبعد عدد معين من دورات القطع تكمل الأداة دورة كاملة؛ تعمل غالباً أنظمة التحضير بالحركة التبادلية بزوايا (150°/30°) مع سرعة دورانية تتراوح بين (300-350) دورة في الدقيقة، إن الحركة في عكس اتجاه عقارب الساعة (CCW) بمقدار 150 درجة قادرة على دفع الأداة بشكل ذروي بحيث يتم قطع العاج الموجود على جدار قناة الجذر (Grande et al., 2016:33-28)

تبعد هذه الحركة حرفة 30 درجة في اتجاه عقارب الساعة (CW)، مما يضمن فك ارتباط الأداة قبل نقل جهد الالتواز المفرط إلى المبرد الآلي وقبل أن تتمكن الأداة من الارتباط في قناة الجذر.

عينة الدراسة:

تألفت عينة البحث من 45 قناة ذات انحناء ذروي وحيد بزاوية 40° مصنوعة من الراتج الشفاف، كل النماذج متشابهة وذات أقنية غير محضرة.

إن قطر واستدقاق كل من هذه الأقنية ينوفق مع قياس ISO ذو القياس 15 (قطر الذروة 0.15 واستدقاق 0.02) والطول العامل لكل قناة 16 مم، حيث كان الجزء المستقيم التاجي بطول 12 ملم والجزء المنحني الذروي بطول 4 ملم (الشكل 1). ومن هنا كان الهدف من هذا البحث هو تقييم قدرة ثلاث أنظمة تحضير آلية وحيدة المبرد مختلفة في تصميمها من حيث المحافظة على مرکزية القناة في الأقنية ذات الانحناء الشديد.



الشكل (1): نماذج صناعية لأقنية غير محضرة

تم حساب حجم العينة باستخدام برنامج G*power 3.1.3 عند قوة دراسة 90% ومستوى الدلالة 5% بالاعتماد على دراسة سابقة (Wei et al., 2017).

قسمت العينة عشوائياً إلى ثلاث مجموعات رئيسية (R-W-A) (R-W-A) ضمن كل مجموعة 15 قناة، وتم ترقيمها من (1-15) وفقاً لنوع المبرد المستخدم في تحضير مشابهات الأقنية الجذرية: المجموعة R: تم تحضيرها باستخدام نظام التحضير الآلي Reciproc blue

بعد استكمال ثلاث دورات تبادلية للأداة تدور الأداة دورة كاملة عكس عقارب الساعة، وتسمح عملية القطع والإفراج المتكررة للأداة بالتقدم ذروياً في قناة الجذر (Webber et al., 2011, pp. 54-59).

إلا أنه بالرغم من جميع الميزات التي تقدمها الأدوات الدوارة المصنوعة من خلائط النيكل_تيتانيوم تبقى مرونتها الزائدة وذاكرة الشكل التي تتمتع بها مصدر تحدٍ كبير أثناء العمل ضمن الأقنية المنحنية، حيث أظهرت الدراسات أن هذه الأدوات تركت نسبة كبيرة من القناة دون أن تمسها وهذا يرجع بشكل رئيسي إلى الخصائص التشريحية للأقنية الجذرية مثل التعرفات، الانحناءات، البر ZX، التجاويف والتشعبات، والتي تعيق حركة هذه الأدوات وتحول دون الوصول إلى كامل الطول العامل وحدوث تشوهات في شكل القناة وانحرافها عن مسارها الأصلي. (de Oliveira et al., 2019, pp. 768-773)

مواد البحث، وطرقه**تصميم الدراسة:**

دراسة مخبرية لتقدير فعالية ثلاث مبارد آلية وحيدة المبرد ذات حركة تبادلية مختلفة المقاطع العرضي:

WaveOne gold-(1) نظام تحضير آلي من شركة Dentsply-Switzerland

VDW Reciproc blue-(2) نظام تحضير آلي من شركة Germany

Fanta AF blue R3-(3) نظام تحضير آلي من شركة China

في المحافظة على مرکزية القناة في مشابهات الأقنية الجذرية ذات الانحناء الشديد.

مجموعة W: تم تحضيرها باستخدام نظام التحضير الآلي بواسطة كاميرا 4 Canon 5d mark المصنعة في اليابان بدقة عدسة 30,4 Mega pixels وعلى بعد ثابت 20 سم وقاعدة ثابتة للكاميرا ضمن نفس شروط الإضاءة (الشكل 4).



الشكل (4): تثبيت القوالب الراتجية وتصويرها.

4. وبعد ذلك تم تحضير الأقنية باستخدام جهاز التحضير Silver Endo motor (VDW-Germany) (الشكل 5).



الشكل (5): جهاز التحضير الآلي المستخدم

وفق مجموعات الدراسة التالية:

المجموعة الأولى:

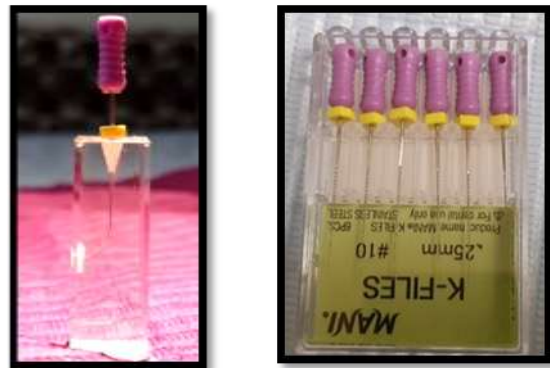
تحتوي على 15 قناة تم تحضيرها باستخدام مبرد Wave one الآلي gold Primary قياس (25,0.7) ذو المقطع العرضي بشكل متوازي أضلاع بشكل متواكب بسرعة 350 rpm باستخدام جهاز التحضير Silver Endo motor (VDW) بعد ضبطه على برنامج Wave one All تم إدخال المبرد ببطء

مجموعة A: تم تحضيرها باستخدام نظام التحضير الآلي AF .WaveOne gold

مجموعة B: تم تحضيرها باستخدام نظام التحضير الآلي AF .Blue R3

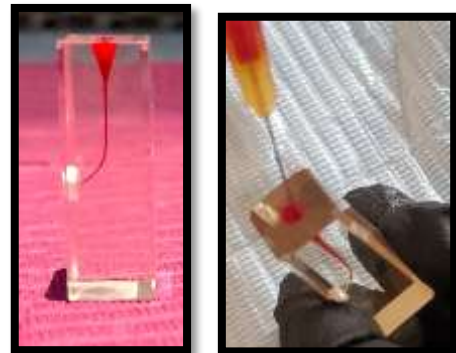
الطرائق :

1. بعد توزيع القوالب اعتماداً على نظام التحضير المستخدم ذي المبرد المفرد، بحيث تضم كل مجموعة 15 قناة، سلكت كل قناة باستخدام المبرد اليدوي (10) K-file (10) حتى كامل الطول العامل (الشكل 2).



الشكل (2): مبارد K-File 10.

2. تم حقن الصباغ الأحمر بالأقنية الصناعية (الشكل 3).



الشكل (3): حقن الأقنية الصناعية بالصباغ الأحمر.

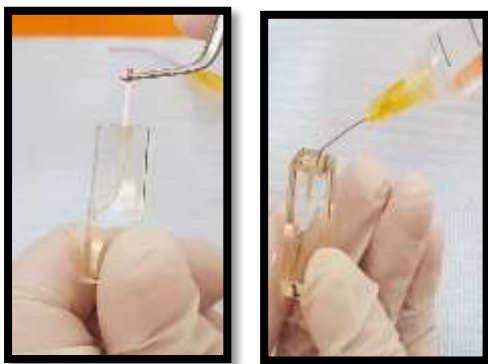
3. ثم تم تثبيت هذه القوالب الراتجية بواسطة قاعدة فيها مكان محدد للنموذج الصنعي وصورة باستخدام التصوير الرقمي

تحوي على 15 قناة تم تحضيرها باستخدام مبرد AF Blue R3 الآلي قياس (25,0.6) ذو مقطع عرضي على شكل مستطيل بسرعة rpm300 باستخدام جهاز التحضير Silver Endo motor Reciproc All (VDW) بعد ضبطه على برنامج VDW وفق نفس البروتوكول (الشكل 8).



الشكل (8): مبارد التحضير الآلي AF blue R3

5. بعد الانتهاء من التحضير تم الغسل النهائي لكل قناة بمقدار 10 ملم من الماء المقطر ثم جفت باستخدام الأقماع الورقية Keskin et al., 2018, p. 3) 94% (الشكل 9).



الشكل (9): الغسيل وتجفيف القناة

6. صورت العينات باستخدام التصوير الرقمي بنفس شروط التصوير قبل التحضير بحيث تم الحصول على صورة نهائية لكل قناة بعد عملية دمج الصورة الأولية الملونة بالصباغ الأحمر مع الصورة بعد التحضير (الشكل 10).

بوجود مادة مزيفة EDTA 19% دون حركات ضغط بحركات إدخال وإخراج حيث كان مدى حركة المبرد 3 ملم، وبعد كل ثلاث حركات متتالية تم إخراج المبرد وتنظيفه بواسطة قطعة قماش مبللة، والغسل بماء مقطر حتى الوصول إلى كامل الطول العامل تم استعمال لكل قناة مبرد واحد فقط Keskin et al., 2018, p. 2) (الشكل 6).



الشكل (6): مبارد التحضير الآلي WaveOne gold المجموعة الثانية:

تحوي على 15 قناة تم تحضيرها باستخدام مبرد Reciproc blue الآلي قياس (25,0.8) ذو مقطع عرضي على شكل (S) حلزوني بحافظتين قاطعتين مع رأس غير عامل بسرعة rpm300 باستخدام جهاز التحضير Silver Endo motor Reciproc All (VDW) بعد ضبطه على برنامج VDW وفق Reciproc All (VDW) البروتوكول السابق (الشكل 7).

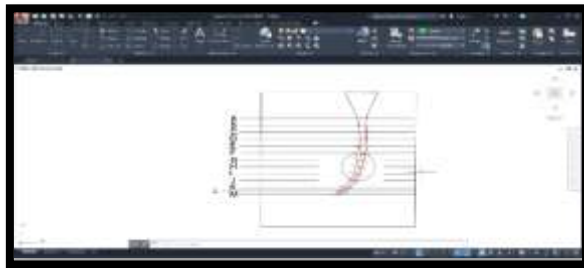


الشكل (7): مبارد التحضير الآلي Reciproc blue المجموعة الثالثة:

8. ومن أجل تحديد انتقال القناة بشكل أسهل تم تقسيم القناة إلى ثلاثة مناطق:

- الثالث التاجي من النقطة (A-D).
- الثالث المتوسط من النقطة (E-H).
- الثالث الذري من النقطة (I-M).

9. تم العمل باستخدام برنامج (AutoCAD Autodesk 2020) على الملف الموافق للصورة قبل التحضير، حيث يتم عزل المنطقة المخصصة للدراسة ووضع خطوط مقاطع الدراسة المطلوبة عليها(الشكل12).

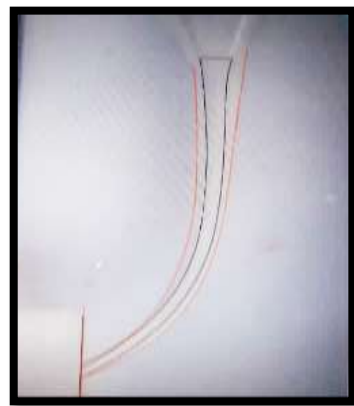


الشكل (12): مستويات الدراسة ورسم خطوط القطع الدقيقة العمودية على المنحى الأساسي.

10. أجريت الدراسة الإحصائية بالاعتماد على اختبار (T-Student)، عند مستوى ثقة 95% ومستوى دلالة 5% باستخدام برنامج SPSS الإصدار 24.

نتائج الدراسة الإحصائية :Statistical Study

تم إجراء اختبار T-student للعينات المرتبطة لدراسة دلالة الفروق في متوسط كمية الراتنج المزال بين جهة اليمين وجهة اليسار في كل من الثالث التاجي والمتوسط والذري لكل مجموعة من أنظمة التحضير المستخدمة.

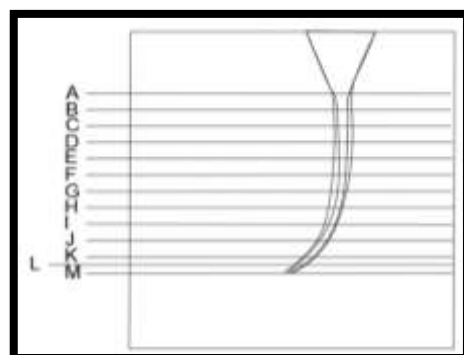


الشكل (10): الصورة المدمجة النهائية

7. تم قياس منطقة التحضير اليمنى واليسرى على كل صورة باستخدام برنامج بحيث أجريت الدراسة على 13 مستوى، تم تحديدها على طول القناة بالاعتماد على الصورة الأولية حسب ما يلي:

- النقطة M عند نهاية الطول العامل.
- النقاط (A-B-C-D-E-F-G-H-I-J-K) على مسافات متساوية من النقطة (M) وبفارق 1ملم.

- النقطة L في منتصف المسافة بين K و M تم تعريف هذه النقطة بسبب خصوصية هذه المنطقة من حيث أهميتها في نجاح المعالجة الليبية (الشكل 11).



الشكل (11): مستويات الدراسة

الجدول (1): نتائج اختبار t-student للمحافظة على مركزية القناة في كل من مجموعات الأنظمة الثلاث

Paired Samples Differences T. Test						
القرار	النتيجة الإحصائية	P-value	T	Mean	نظام التحضير المستخدم	
المحافظة على مركزية القناة	لا يوجد فرق دال إحصائياً	.696	-.393	2.39838	كمية الارتفاع المزالة من جهة اليسار	الثالث التاجي
				2.43752	كمية الارتفاع المزالة من جهة اليمين	
انحراف القناة نحو اليسار	الفرق دال إحصائياً لجهة اليسار	.000	13.293	2.53270	كمية الارتفاع المزالة من جهة اليسار	الثالث المتوسط
				1.14330	كمية الارتفاع المزالة من جهة اليمين	
المحافظة على مركزية القناة	لا يوجد فرق دال إحصائياً	.723	.356	1.40764	كمية الارتفاع المزالة من جهة اليسار	الثالث الذروي
				1.36044	كمية الارتفاع المزالة من جهة اليمين	
المحافظة على مركزية القناة	لا يوجد فرق دال إحصائياً	.242	-1.181	2.30027	كمية الارتفاع المزالة من جهة اليسار	الثالث التاجي
				2.43493	كمية الارتفاع المزالة من جهة اليمين	
انحراف القناة نحو اليسار	الفرق دال إحصائياً لجهة اليسار	.000	7.022	2.02765	كمية الارتفاع المزالة من جهة اليسار	الثالث المتوسط
				1.36280	كمية الارتفاع المزالة من جهة اليمين	
المحافظة على مركزية القناة	لا يوجد فرق دال إحصائياً	.795	-.261	1.11728	كمية الارتفاع المزالة من جهة اليسار	الثالث الذروي
				1.14332	كمية الارتفاع المزالة من جهة اليمين	
انحراف القناة نحو اليمين	الفرق دال إحصائياً لجهة اليمين	.000	-17.82	2.22142	كمية الارتفاع المزالة من جهة اليسار	الثالث التاجي
				3.81222	كمية الارتفاع المزالة من جهة اليمين	
انحراف القناة نحو اليمين	الفرق دال إحصائياً لجهة اليمين	.000	-11.9	1.52137	كمية الارتفاع المزالة من جهة اليسار	الثالث المتوسط
				2.57448	كمية الارتفاع المزالة من جهة اليمين	
انحراف القناة نحو اليمين	الفرق دال إحصائياً لجهة اليمين	.000	-13.87	1.02224	كمية الارتفاع المزالة من جهة اليسار	الثالث الذروي
				2.0254	كمية الارتفاع المزالة من جهة اليمين	

لأقنية المحضرة، حيث كانت القيمة الاحتمالية للاختبار (p -value) أصغر من مستوى الدلالة (0.05)، مما يشير لانحراف القناة نحو اليسار وفق مجموعة هذا النظام.

3- في مجموعة AF Blue R3 :

تبين وجود فرق دال إحصائياً في متوسط كمية الراتنج المزالة في الثالث التاجي والمتوسط والذروي للأقنية المحضرة لصالح جهة اليمين، حيث كانت القيمة الاحتمالية للاختبار (p -value) أصغر من مستوى الدلالة (0.05)، مما يشير لانحراف القناة نحو اليمين وفق مجموعة هذا النظام.

الخلاصة: تسبب نظام التحضير AF Blue R3 في حدوث أكبر قدر من التغيرات الحجمية المتعلقة بكمية الراتنج المزال وذلك في كل مناطق الدراسة مقارنة بنظامي التحضير

.Reciproc blue و WaveOne gold

لمعرفة أين تكمن الفروقات الدالة إحصائياً بين مجموعة إحساسياً بين جهة اليمين وجهة اليسار في متوسط كمية الراتنج المزالة في الثالث التاجي والذروي للأقنية المحضرة، حيث كانت القيمة الاحتمالية للاختبار (p -value) أكبر من مستوى الدلالة (0.05) مما يشير للمحافظة على مركبة القناة وفق مجموعة هذا النظام.

يظهر الجدول السابق ما يلي:

1- في مجموعة Reciproc blue

تبين عدم وجود فرق دال إحصائياً بين جهة اليمين وجهة اليسار في متوسط كمية الراتنج المزالة في الثالث التاجي والذروي للأقنية المحضرة، حيث كانت القيمة الاحتمالية للاختبار (p -value) أكبر من مستوى الدلالة (0.05)، مما يشير للمحافظة على مركبة القناة وفق مجموعة هذا النظام.

في حين تبين وجود فرق دال إحصائياً في متوسط كمية الراتنج المزالة من جهة اليسار مقارنة بجهة اليمين في الثالث المتوسط للأقنية المحضرة، حيث كانت القيمة الاحتمالية للاختبار (p -value) أصغر من مستوى الدلالة (0.05)، مما يشير لانحراف القناة نحو اليسار وفق مجموعة هذا النظام.

2- في مجموعة WaveOne gold :

تبين عدم وجود فرق دال إحصائياً بين جهة اليمين وجهة اليسار في متوسط كمية الراتنج المزالة في الثالث التاجي والذروي للأقنية المحضرة، حيث كانت القيمة الاحتمالية للاختبار (p -value) أكبر من مستوى الدلالة (0.05) مما يشير للمحافظة على مركبة القناة وفق مجموعة هذا النظام.

في حين تبين وجود فرق دال إحصائياً في متوسط كمية الراتنج المزالة من جهة اليسار مقارنة بجهة اليمين في الثالث المتوسط

الجدول (2): نتائج اختبار t-student للمحافظة على مركزية القناة بين مجموعتي التحضير

النتيجة العلاجية	النتيجة الإحصائية	p-value	T	Mean	نظام التحضير المستخدم	المنطقة المدرosa
المحافظة على مركزية القناة متكافئة بين المجموعتين	لا يوجد فرق دال إحصائياً بين المجموعتين	.266	-1.117	.6080	Reciproc blue	الثلث الناجي
				.7105	WaveOne gold	
مجموعة gold أفضل بالمحافظة على مركزية القناة	الفرق دال إحصائياً لصالح مجموعة gold	.000	4.7	1.3974	Reciproc blue	الثلث المتوسط
				.8000	WaveOne gold	
الفرق لصالح مجموعة gold	يوجد فرق دال إحصائياً بين المجموعتين	.400	2.918	.9763	Reciproc blue	الثلث الذري
				.7198	WaveOne gold	

(p-value) أكبر من مستوى الدلالة (0.05)، مما يشير

يظهر الجدول السابق ما يلي:

للمحافظة على مركزية القناة وفق المجموعتين بنفس السوية في

1- في الثلث الناجي:

تبين عدم وجود فرق دال إحصائياً بين مجموعة Reciproc

- في الثلث المتوسط:

blue ومجموعة WaveOne gold في متوسط مقدار الانزياح

تبين وجود فرق دال إحصائياً بين مجموعة Reciproc blue

في الثلث الناجي للأقنية المحضرة حيث كانت قيمة

ومجموعة WaveOne gold في متوسط مقدار الانزياح في

الثلث المتوسط للأقنية المحضرة، حيث كانت قيمة (p-value)

Morales *et al.*, 2020, pp. 271-276.

أكبر قدر من البنية العاجية (Morales *et al.*, 2020, pp. 271-276). في الدراسات المخبرية يعتبر استخدام مشابهات الأقنية الجذرية الراتجية، والأسنان الطبيعية من أكثر الطرائق شيوعاً من بين الخيارات المتاحة لتقدير قدرة أنظمة التحضير القنوى الآلية المختلفة في تشكيل القناة الجذرية حيث تتميز القوالب الراتجية بأن قطر القناة الجذرية، طولها، نصف قطر انحنائها، قطرها، وزاوية انحنائها ثابتة ومعلومة ، بالرغم من أن قساوة الراتج وخاصية انسحاله لا تمايز التي في الأسنان الطبيعية (Orel *et al.*, 2021, pp. 8-9)، إلا أنها تسمح بتوحيد معايير قناة الجذر والقضاء على التباين الكبير المصادر في تشريح القناة نظراً لأن الهدف من هذه الدراسة مقارنة قدرة التشكيل لأدوات النيكل_تيتانيوم التي يتم تصنيعها بطرائق مختلفة فقد تم استخدام مشابهات الأقنية الجذرية لتوفير ظروف عمل مضبوطة بدقة(Alrahabi & Alkady, 2017).

على الرغم من كون طريقة التصوير المقطعي المحوسب MICRO CT تعد الوسيلة الأدق لتقدير فعالية مبارد النيكل_تيتانيوم في قدرتها على إحداث انزياح عن المسار الأصلي للقناة (de Sousa-Neto *et al.*, 2018, pp. 20-43) إلا أن طريقة مطابقة الصور الفوتوغرافية قبل وبعد التحضير تعد أيضاً طريقة مقبولة ومنشرة بشكل واسع تستخدم لتقدير قدرة وقابلية أنظمة التحضير المختلفة عند دراستها على الأقنية الصناعية .

أجريت العديد من الدراسات لتحليل خصائص المبارد الآلية مثل قدرة القطع أثناء التحضير والحفاظ على المسار التشريحي للقناة الجذرية و وقت التحضير (do Amaral *et al.*, 2016, pp. 626-631) كما طورت العديد من مبارد النيكل تيتانيوم بخلائط مختلفة سعت إلى التحول من أنظمة التحضير متعددة المبارد

أصغر من مستوى الدلالة (0.05) ، وكان هذا الفرق لصالح مجموعة WaveOne gold ، مما يشير إلى أفضلية مجموعة gold بالمحافظة على مركبة القناة.

- في الثالث الذروي:

تبين وجود فرق دال إحصائياً بين مجموعة Reciproc blue ومجموعة WaveOne gold في متوسط مقدار الانزياح في الثالث الذروي للأقنية المحضرة، حيث كانت قيمة (p-value) أصغر من مستوى الدلالة (0.05) ، وكان هذا الفرق لصالح مجموعة WaveOne gold مما يشير لأفضلية مجموعة gold بالمحافظة على مركبة القناة.

الخلاصة:

لم تختلف قيم مقدار الانزياح في مركبة القناة بعد التحضير في الثالث التاجي بين المبردين، أما في الثالث المتوسط والذروي فقد تفوق مبرد WaveOne Golds حيث أظهر المبرد نتائج أفضل في التحضير المحافظ للقناة بين المبارد الثلاثة.

المناقشة Discussion:

تأتي أهمية التحضير الميكانيكي للأقنية الجذرية ليس فقط من حيث إزالة كافة البقايا والنسيج الحية والمتموتة داخل القناة وإنما أيضاً من أهمية خلق مكان كاف يسمح بدخول كل من سوائل الإرواء ، الضمادات داخل القنوية، مواد الحشو وذلك بهدف إتمام دورها في تطهير المنظومة القنوية وختتها بشكل محكم وذلك مع المحافظة على الشكل التشريحي للقناة (Alfadley *et al.*, 2020, pp. 3-4).

وهذا ما جعل كلاً من الباحثين والشركات المصنعة في سباق مستمر للحصول على أفضل الخلائط والتصاميم المتعلقة بالأدوات والتي تسمح بأفضل تنظيف لمختلف الأشكال التشريحية للمنظومة القنوية مع المحافظة على أن يكون هذا التحضير أقل عدوانية ما أمكن وذلك في سبيل المحافظة على

المستخدم (R-W-A) تم تسليك الأقنية وأخذ صور شمسية لقالب راتجي واحد ملون بصباغ أحمر لتسهيل الدراسة قبل التحضير ثم تمأخذ صور شمسية للمجموعات بعد التحضير ضمن الشروط نفسها من حيث البعد والزاوية والإضاءة باستخدام كاميرا رقمية ثم أجريت الدراسة على 13 مستوى على كامل طول القناة:

- النقطة M عند نهاية الطول العامل - النقاط (A-B-C-D-E-F-G-H-I-J-K) على مسافات متساوية من النقطة (m) بفارق امل.

- النقطة L في منتصف المسافة بين K و m تم تعين هذه النقطة بسبب خصوصية هذه المنطقة من حيث أهميتها في نجاح المعالجة اللبية.

حيث تم قياس مقدار الراتنج المزال من كل قناة من اليمين واليسار.

عند دراسة مقدار الانزياح عن مركزية القناة بعد التحضير فقد أظهرت نتائج هذه الدراسة أن قيم الانزياح في كمية الراتنج المزالة بعد التحضير من الجهتين اليمنى واليسرى لم تختلف بين مجموعتي WaveOne gold و Reciproc blue في الثالث التاجي أما في منطقة الثالث المتوسط والذروي فقد تفوقت مبارد WaveOne gold فكانت الأصغر بين مجموعتي التحضير يمكن أن يعزى ذلك إلى القطر الصغير لمبرد WaveOne gold Primary (0.7-0.25) حيث يملك مبرد Gold استدقاق متغير بمقدار 0.7 من D0-D3 ، وبمقدار 0.6 من D4-D8 ، وبمقدار 0.3 من D9-D16 مقارنة بمبرد Reciproc blue (0.8-0.25) الذي يملك استدقاق متغير بمعدل 0.8 من D0-D3، وبمقدار 0.4 من D4-D16.

بينما أظهر نظام التحضير AF Blue R3 أن كمية الراتنج المزالة كانت الأكبر منها في كل من مجموعة التحضير

إلى أنظمة التحضير وحيدة المبرد وذلك بغض النظر القليل من زمن العمل وزيادة الكفاءة السريرية (Bane *et al.*, 2015, p. 135).

لذلك فقد أتبعت

هذه الدراسة بهدف تقييم فعالية ثلاثة أنظمة تحضير مفردة المبرد ذات حركة تبادلية في تحضير الأقنية شديدة الانحناء بغرض دراسة التغيرات التي ستطأ على كل من شكل ومسار القناة الأصلي، وهذا لقلة الدراسات التي تتناولت دراسة أنظمة التحضير ذات المبرد المفرد التي تعتمد الحركة التبادلية في تحضير الأقنية شديدة الانحناء.

حيث يعتبر المحافظة على الانحناء الأصلي للقناة والمحافظة على النزرة في مكانها أحد أهم أهداف التحضير الناجح والمحددة من قبل Schilder لذلك ومع ظهور كل نظام تحضير جديد كان لابد من إجراء دراسات شاملة لتقييم كفاءة هذا النظام وقدرته على تحقيق أهداف التحضير المختلفة كالمحافظة على النزرة في مكانها ومقارنته بالأنظمة المختلفة لمعرفة الأفضل منها.

يعتبر نظام AF Blue R3 من شركة Fanta من أحدث أنظمة التحضير الآلي معالجة حراريًا مصنوعة باستخدام سلك مطمور من خليطة النيكل تيتانيوم wire-AFTM معالج حراريًا بتقنية خاصة وقد قدمت الشركة المصنعة هذا النظام على أن من أهم ميزاته مرونة جيدة وخواص ميكانيكية قوية وقساوة كافية لإجراء القطع العاجي.

تم في هذا البحث مقارنة ما بين ثلاثة أنظمة تحضير ذو مبرد وحيد بحركة تبادلية لمعرفة أي من الأنظمة الثلاث أكثر محافظة على مركزية القناة وبالتالي المحافظة على الشكل التشريحي لها.

تألفت عينة البحث من 45 قناة من مشابهات الأقنية الصناعية بزاوية انحناء 45 درجة تم تقسيمها عشوائيًا إلى ثلاث مجموعات (15 قناة لكل مجموعة) وفق نظام التحضير

القسمين الناجي والمتوسط وتفوق مبرد WaveOne gold في القسم الذروي.

أختلفت دراستنا مع دراسة (Silva et al., 2018) لتقدير فعالية (Reciproc Blue, WaveOne Gold and ProTaper Next) في المحافظة على مركزية القناة ونقل الذروة في مشابهات أقنية جذرية منحنية حيث لم تكن هناك فروق ذات دلالة إحصائية RCB بين أنظمة التحضير المستخدمة ومع ذلك فقد تفوق مبرد WaveOne Gold في المحافظة على مركزية القناة ونقل للذروة إليه مبرد PTN يمكن أن يعزى هذا الاختلاف إلى اختلاف طريقة التصوير وعدد المستويات المستخدمة لدراسة مركزية القناة في هذه الدراسة. من خلال هذه الدراسة نوصي بإجراء المزيد من الأبحاث المخبرية على الأسنان البشرية ومزيد من الأبحاث السريرية للتحقق من فعالية هذه المبارد وتأكيد النتائج التي تم التوصل إليها.

الاستنتاجات :Conclusions

حافظ كل من نظامي التحضير WaveOne و Reciproc blue و Reciproc gold على الشكل التشريحي ومركزية القناة مع تفوق الأخير AF Blue R3 ب أقل مقدار انحراف، بينما تسبب نظام التحضير R3 ب حدوث أكبر قدر من التغيرات الحجمية المتعلقة بمقدار الراتنج المزال فيأغلب مناطق الدراسة.

WaveOne gold و Reciproc blue بمختلف المناطق المدروسة حيث كانت كمية الراتنج المزال من جهة اليمين أكبر من كمية الراتنج المزال من جهة اليسار مما أدى إلى انحراف التحضير نحو اليمين في هذا النظام ومن الممكن أن يكون المقطع العرضي بشكل مستطيل متعدد القطاعات والاستدقاق الثابت بمعدل 6% على طول المبرد سبباً "هاما" في التغيرات الحجمية الحاصلة.

اتفقت دراستنا مع دراسة (Zahid et al., 2021) لمقارنة أنظمة تحضير مفردة ذات حركة تبادلية في أرحاء سفلية بدرجة انحاء بين 20-30° بين مبردين WaveOne gold, Reciproc cone-beam computed blue tomography (CBCT) أظهر مبرد WaveOne Gold قدرة Reciproc Blue على نقل أقل للقناة مقارنة بمبرد Reciproc blue على شكل حرف S بحافظتين قاطعتين وطريقة تصنيعه واختلاف الاستدقاق يمكن أن يفسر قدرة المقطع العالي للمبرد مقارنة بمبرد WaveOne Gold.

كما اتفقت دراستنا مع دراسة (Elashiry et al., 2020) لتقدير فاعالية أربعة أنظمة تحضير في تشكيل 80 قناة أنسية منحنية باستخدام كل من (WaveOne gold-Reciproc Blue-One Shape-Hyflex EDM) حيث لوحظ عدم وجود أي فروق بين أنظمة التحضير المستخدمة في انحراف القناة وذلك في

التمويل: هذا البحث ممول من جامعة دمشق وفق رقم التمويل (501100020595).

Reference:

1. Ahn, S.-Y., Kim, H.-C., & Kim, E. (2016). Kinematic effects of nickel-titanium instruments with reciprocating or continuous rotation motion: a systematic review of in vitro studies. *Journal of endodontics*, 42(7), 1009-1017 .
2. Alfadley, A., Alrajhi, A., Alissa, H., Alzeghaibi, F., Hamadah, L., Alfouzan, K., & Jamleh, A. (2020). Shaping ability of XP endo shaper file in curved root canal models. *International journal of dentistry*, 2020 .
3. Alrahabi, M., & Alkady, A. (2017). Comparison of the shaping ability of various nickel–titanium file systems in simulated curved canals. *Saudi Endodontic Journal*, 7(2), 97-97 .
4. Bane, K., Faye, B., Sarr, M., Niang, S. O., Ndiaye, D., & Machtou, P. (2015). Root canal shaping by single-file systems and rotary instruments: a laboratory study. *Iranian endodontic journal*, 10(2), 135 .
5. Berutti, E., Cantatore, G., Castellucci, A., Chiandussi, G., Pera, F., Migliaretti, G., & Pasqualini, D. (2009). Use of nickel-titanium rotary PathFile to create the glide path: comparison with manual preflaring in simulated root canals. *Journal of endodontics*, 35(3), 408-412 .
6. de Oliveira, D. J. F., Leoni, G. B., da Silva Goulart, R., de Sousa-Neto, M. D., Sousa, Y. T. C. S., & Silva, R. G. (2019). Changes in geometry and transportation of root canals with severe curvature prepared by different heat-treated nickel-titanium instruments: a micro-computed tomographic study. *Journal of endodontics*, 45(6), 768-773 .
7. de Sousa-Neto, M. D., Silva-Sousa, Y. C., Mazzi-Chaves, J. F., Teodoro Carvalho, K. K., Simoes Barbosa, A. F., Versiani, M. A., Jacobs, R., & Leoni, G. B. (2018). Root canal preparation using micro-computed tomography analysis: a literature review. *Brazilian oral research*, 32(suppl 1), 20-43 .
8. do Amaral, R. O. J. F., Leonardi, D. P., Gabardo M. C. L., Coelho, B. S., de Oliveira, K. V., & Baratto Filho, F. (2016). Influence of cervical and apical enlargement associated with the WaveOne system on the transportation and centralization of endodontic preparations. *Journal of endodontics*, 42(4), 6 .631–26
9. Elashiry, M. M., Saber, S. E., & Elashiry, S. H. (2020). Comparison of shaping ability of different single-file systems using microcomputed tomography. *European Journal of Dentistry*, 14(01), 070-076 .
10. Grande, N. M., Plotino, G., Ahmed, H. M. A., Cohen, S., & Bukiet, F. (2016). The reciprocating movement in endodontics. *Endodontic practice*, 28-33 .
11. Keskin, C., Demiral, M., & Sarıyilmaz, E. (2018). Comparison of the shaping ability of novel thermally treated reciprocating instruments. *Restorative dentistry & endodontics*, 43 .(2)
12. Liu, W., & Wu, B. (2016). Root canal surface strain and canal center transportation induced by 3 different nickel-titanium rotary instrument systems. *Journal of endodontics*, 42(2), 299-303 .
13. Morales, M. d. l. N. P., Sánchez J. A. G., Fernández, J. G. O., Laperre, K., Sans, F. A., Jaramillo, D. E., & Terol, F. D.-S. (2020). TRUShape Versus XP-endo Shaper: A Micro-computed Tomographic

- Assessment and Comparative Study of the Shaping Ability—An In Vitro Study. *Journal of endodontics*, 46(2), 271-276 .
14. Orel, L., Velea-Barta, O.-A., Nica, L.-M., Boscornea-Pușcu, A.-S., Horhat, R. M., Talpos-Niculescu, R.-M., Sinescu, C., Duma, V.-F., Vulcanescu, D.-D., & Topala, F. (2021). Evaluation of the Shaping Ability of Three Thermally Treated Nickel–Titanium Endodontic Instruments on Standardized 3D-printed Dental Replicas Using Cone-Beam Computed Tomography. *Medicina*, 57(9), 901 .
15. Peters, O. A., Arias, A., & Paqué, F. (2015). A micro-computed tomographic assessment of root canal preparation with a novel instrument, TRUShape, in mesial roots of mandibular molars. *Journal of endodontics*, 41(9), 1545-1550 .
16. Silva, P. F., Coelho, E., Alves, N. C. C., Silva, S. A., Pereira, F. C., & Albuquerque, D. S. (2018). Canal transportation and centering ability of reciproc blue, waveone gold and protaper next in simulated curved canals. *Iranian Endodontic Journal*, 13(4), 498-502 .
17. Webber, J., Machtou, P., Pertot, W., Kuttler, S., Ruddle, C., & West, J. (2011). The WaveOne single-file reciprocating system .*Roots*, 1(1), 28-33 .
18. Wei, Z., Cui, Z., Yan, P., & Jiang, H. (2017). A comparison of the shaping ability of three nickel-titanium rotary instruments: a micro-computed tomography study via a contrast radiopaque technique in vitro. *BMC Oral Health*, 17 .7-1 -(1)

